

**تأثيرnickel على كل من الطلاء Al-Aluminide ومقاومة التأكسد الدوري للصلب السبائكى
321 AISI**

مويد عبد الله محمد
قسم الفيزياء - كلية العلوم
جامعة الموصل

(تاریخ الاستلام 4200/4/24 ، تاریخ القبول 23/10/2004)

الملخص

تضمن البحث دراسة بنية وأطوار الطلاء الناتج عن نوعين مختلفين من الطلاء للصلب المقاوم للصدأ من النوع الأوستيني AISI 321 . تضمن النوع الأول ترسيب عنصر никель بالطريقة الكهربائية ومن ثم المعنثه بطريقة بودفة المسننة Pack cementation (طلاء المرحلتين). بينما تضمن النوع الثاني الترسيب المشترك لمسحوق مكون من عنصري никيل والالمنيوم بطريقة المسننة (طلاء المرحلة الواحدة). استخدم في هذا البحث تقنية حبيبات الأشعة السينية X-ray diffraction والفحص المجهرى للتعرف على التركيب الدقيق والأطوار الوسطية المكونة فضلاً عن سمك الطلاءات الناتجة وخواصها. كما أظهرت نتائج فحص التأكسدة الدورية لهذه الطلاءات في درجات الحرارة العالية، مقاومة جيدة للتآكسد بسبب تكون القرفة الاوكسیدية المستقرة والملتحمة $\text{Al}_2\text{O}_3 - \alpha$ على مدى ساعات التعرض.

**Influence of Nickel on Aluminide Coating and Cyclic Oxidation of
321 AISI Stainless Steel**

Mooyad A. Mohammed

*Department of Physics
College of Science
Mosul University*

Ayman A. Alhashimee

ABSTRACT

Two different types of aluminide coatings on austenitic stainless steel 321 AISI, were investigated. One is based on predeposition of nickel by electrodeposition followed by aluminization using a pack cementation technique (double step – coating), while the other coating is based on codeposition of nickel and aluminium powder simultaneously using a pack cementation (single step – coating).

The coating microstructure and intermetallic compound of the coating layers, as well as, coating thickness were identified using metallurgy and X- ray analysis.

The coating microstructure and intermetallic compound of the coating layers, as well as, coating thickness were identified using metallurgy and X-ray analysis.

The cyclic oxidation test of the coatings at elevated temperature reveals the formation of stable and protective scale $\alpha - Al_2O_3$ along the exposure time.

المقدمة

تعرض السبايك والمعادن التي تستخدم في درجات الحرارة العالية وظروف بيئية قاسية مثل التوربينات الغازية إلى الانهيار بسبب التآكل، وتلعب هندسة السطوح دوراً مهماً في حماية تلك المواد في مثل هذه الظروف. ولتحسين مقاومتها للتآكل تتطلب هذه السبايك طبقة معدنية وغالباً ما تكون من الالمنيوم لتكوين القشرة الاوكسيدية الواقية Al_2O_3 إذا ما تعرضت للتآكل . (Maragoudakis et al., 2003)

وتعمل القشرة الاوكسيدية الواقية هذه على حجب دخول الاوكسجين إلى المسبكة مما يؤدي إلى زيادة معدلات تآكلها. وهناك شرطان اساسيان لنجاح عملية الطلاء وبالسمك المطلوب وهو الاتصاقية الجيدة والكتافة العالية (Misaelides et al., 1997). ومن اهم التقنيات المستخدمة في الطلاء هي طريقة السمننة للطلاء الالوميني (Pack cementation (Levin et al., 1998) وطريقة الغرس الابيوني (Misaelides et al., 1997) (Ion implantation) واخرى عديدة ونظرًا سهولة تنفيذ تقنية السمننة واعتدال نكاليفها، فهي الأكثر شيوعاً وخاصة في الصناعة، وبهذه التقنية يتم وضع خليط من المساحيق (من بينها العنصر المراد الطلاء به) داخل بودرة وتنظرم الأجزاء المراد طلائتها داخل المسحوق في البودرة ثم تسخن داخل فرن مفرغ من الهواء او قد يستخدم أحد الغازات الخاملة مثل الاركون، ويمكن ايجاد المزيد عن هذه التقنية في مصادر عديدة منها (Mohammed , 1983).

تعتمد طريقة الالمنة على استخدام بودرة السمننة وهذا اليعنى للطلاء فضي الاولى يمكن استخدام بودرة ذات فعالية عالية للالمنيوم (high aluminum activity) وفيها ينتشر الالمنيوم إلى داخل المسبكة لتكوين واحد او اكثر من الاطوار الغنية بالالمنيوم ، وفي الثانية تكون البودرة ذات فعالية قليلة للالمنيوم (low aluminum activity) وفيها تنتشر عناصر المسبكة نحو السطح في نفس الوقت الذي ينتشر الالمنيوم إلى الداخل ليسهم في تكوين الطلاء وغالباً ما يكون طبقة الطلاء مكونة من الاطوار المتوازنة او الغنية بالعناصر الاساسية للمسبكة (Boon and Gaward, 1971). وان خواص الاطوار الناتجة وتركيبها سوف يعتمد على مكونات البودرة والمسبكة فضلاً عن درجة الحرارة وזמן التعامل.

تحوير الطلاء الالوميني:

يتفق الباحثون على ان انهيار الطلاء الالوميني يحدث بسبب استفاذ عنصر الالمنيوم من السطح اما عن طريق تكوين القشرة الاوكسيدية Al_2O_3 وتساقطها نتيجة الاجهادات الحرارية والmekanikke او عن

وحدث ما يعرف بانهيار الطلاء (coating degradation) والذي يتسبب في تناقص تركيز الالمنيوم عند السطح الخارجي وبالتالي تقليل احتمالية تكون القشرة الاوكسيدية الواقعية. لذا تركزت البحوث على تحسن خواص التصاق القشرة الاوكسيدية وذلك بترسيب العناصر النادرة مثل (Y,Ce,Se,La) بطرق كيميائية وفيزيائية (Seal et al., 2000) أو اضافة بعض العناصر الى بودقة الطلاء مثل Pt (Shahrour, et al., 1994) والكروم والسليكون (Vanmanen, et al., 1993) . كما ان اضافة هذه العناصر او اكسيدتها الى السبيكة نفسها قد اسهمت في تحسين مقاومة التأكسد (Kim et al., 1993) فضلاً عن استخدامها في الطلاء غطاء خارجي (Over lay coating) بواسطة الغرس الايوني او ترسيبها كهربياً قبل المنتها (Datta, et al., 2002).

يهدف البحث الى دراسة تأثير عنصر النikel على كل من خواص الطلاء وسمكه وأطواره الناتجة وذلك بترسيبها كهربياً قبل الالمنيوم (طلاء المرحلتين) (double step-coating) او اضافته ك احد مكونات مسحوق الطلاء مع الالمنيوم (طلاء المرحلة الواحدة) (single step-coating) فضلاً عن دراسة تأثيره على مقاومة التأكسد الدوري لسبائك الصلب 321 AISI .

طريقة العمل

1- تحضير الطلاءات :Coating preparation

اختبرت سبيكة الصلب 321 AISI كأساس لاجراء الطلاءات كونها من السبايك المقاومة للتأكسد في درجات الحرارة المعتدلة لاحتواها على 18 % كروم وهذه النسبة تكفي لتكوين القشرة الاوكسيدية Cr_2O_3 ، الا ان المعروف ان هذا الاوكسيد اضافة الى كونه من الاكسيد المتاخر (Volutized oxide) فإنه يتعرض للتقطش والتسلق بسبب الاجهادات الحرارية والميكانيكية . ولزيادة مقاومة هذه السبيكة للتأكسد والتآكل في درجات الحرارة العالية تم اختيارها للطلاء الالوميني بهدف الحصول على القشرة الاوكسيدية المستقرة $\alpha - \text{Al}_2\text{O}_3$. ويبين الجدول (1) النسب المئوية للعناصر المكونة لسبائك الصلب المقاوم للصدأ 321.

جدول 1: النسب المئوية للعناصر المكونة لسبائك الصلب المقاوم للصدأ 321.

| Type | C % | Mn % | Si % | Ni % | Cr % | S % | Ti % | Fe |
|-----------------------------|--------|-------|-------|-------|--------|--------|------|------|
| Stainless steel 321 AISI | 0.0544 | 1.477 | 0.604 | 8.962 | 18.636 | 0.0015 | 0.21 | Bal. |

قطع النماذج بشكل شرائح ابعادها ($20*10^2$ mm) واجريت لها عمليات التجليخ والتعيم (Grinding) باستخدام ورق كار بيد السليكون حجمه الحبيبي 1200,600,220 وبعد غسل النماذج وتتنظيفها من الشحوم صنفت الى مجموعتين:

1-1: طلاء المرحلتين :double step – coating

أولاً: - استخدم في طلاء هذه النماذج خلية كهربائية لترسيب النikel داخل حوض يحتوي على 180غم/لتر من حامض البوريك H_2BO_3 وتيار كثافته $8Am/dcm^2$ وفي درجة حرارة 45 م° وزمن طلاء يتراوح بين 35 - 40 دقيقة (الزهيري، 2001).

ثانياً: اجريت عملية الطلاء بالامونيوم بعد طلائها بالنikel وذلك باستخدام بودقة تحتوي على خليط من المساحيق مكونة 25 % مسحوق الالمنيوم، 5 % مسحوق كلوريد الامونيوم و 70 % مسحوق الالومينا وبعد مزج هذا الخليط لمدة 12 ساعة يوضع في بودقة الطلاء وتطرى العينات المراد طلائها داخل البوقدة التي توضع مع محتوياتها داخل فرن كهربائي انيوني بدرجة 1000 م° ثم يفرغ من الهواء الى حوالي 10^3 نور.

اعد الطلاءات لفترات زمنية 4، 2 و 8 ساعات وفي كل مرة تبرد البوقدة داخل الفرن قبل استخراج النماذج المطلية.

2-1 طلاء المرحلة الواحدة : single step coating

ويستخدم فيها بودقة تحتوي على خليط مكون من 12.5 % مسحوق الالمنيوم، 12.5 % مسحوق النikel، 5 % مسحوق كلوريد الامونيوم و 70 % مسحوق الالومينا ويتم طلاء النماذج كما في الطريقة السابقة.

2- اختبار الاكسدة : Oxidation tests

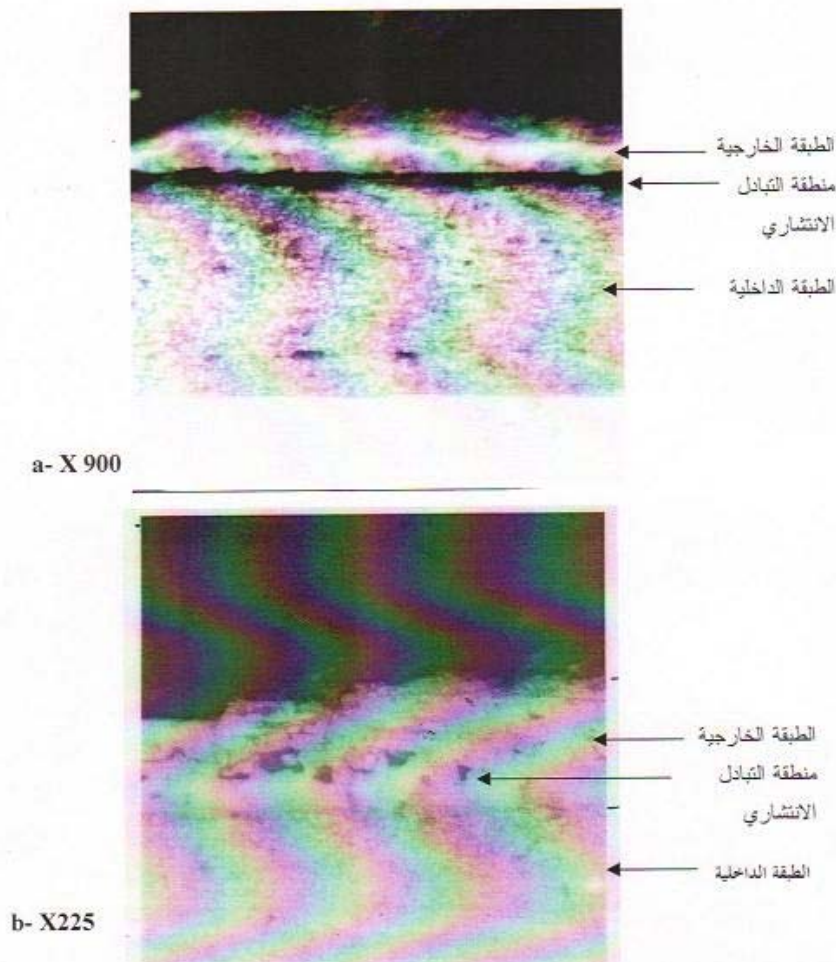
تضمنت عمليات اختبار الاكسدة للعينات المطلية باستخدام الفرن الانبوبي مفتوح الطرفين ومسخن بدرجة 1000 م° وتحت الضغط الجوي الاعتيادي واختبرت عمليات الاكسدة بطريقة الدورات الحرارية (Cyclic oxidation) كونها تمثل الوجه الحقيقي لاستخدام هذه الطلاءات التي تتعرض لدورات حرارية متكررة.

والمعرف على حركة الاكسدة وتقدير معدلات تأكسدها، سجلت أوزان العينات باستخدام ميزان حسام قبل وبعد التعرض التي استغرقت 22 ساعة لكل دورة حرارية أي ما مجموعه 220 ساعة. وللتعرف على انواع الاكسيد وتحديد نوع الاوكسيد، استخدمت فحوصات الاشعة السينية ايضاً.

النتائج والمناقشة

نظراً لكون البحث يتضمن جزأين اساسيان وهما تحضير الطلاء والاكسدة الدورية فسوف يتم مناقشتها كل على انفراد.

أولاً: يمثل الشكل (1 a) المقطع العرضي لطلاء المرحلتين و(b) لطلاء المرحلة الواحدة والمحضرتين بدرجة حرارة 1000 م° وزمن 8 ساعات.



شكل ١: المقطع العرضي الذي يوضح التركيب المجهرى للعينات المطلية.

(a) بمرحلة بدرجة 1000م بعد 8hr

(b) بمرحلة واحدة بدرجة 1000م بعد 8hr

يظهر الفحص المجهرى لنوعي الطلاء بأنه مكون من طبقتين مميزتين (داخلية وخارجية) ويفصل بينهما منطقة يمكن تمييزها بسهولة وتعرف بمنطقة التبادل الانتشاري (inter diffusion zone). وبين الجدول (2) تفاصيل قياس السمك لهذه الطبقات والأوزان المكتسبة بعد الطلاء، ويوضح من مقارنة الأرقام أن السمك الكلى وكذلك سمك الطبقات المتعددة هو أقل بكثير من طلاء المرحلة الواحدة ، وبتفسير هذا أن ترسيب طبقة النikel كهربائيا على السطح قبل الالمنيوم قد تسبب في (1) إعاقة انتشار الالمنيوم إلى داخل سطح السبيكة أو سرعة انتشار الالمنيوم في حالة غياب النikel كانت هي الاكبر وبالتالي فإن سمك طبقة الطلاء هي الأقل .
 (2) ان التباطؤ في سرعة انتشار الالمنيوم في حالة ترسيب النikel كهربائيا (طلاء مرحلتين) تسبب ايضا في ظهور اطوار غنية بالالمنيوم مثل Al_3Ni_2 و Al_5Cr في الطبقة الخارجية، في حين لم يتتأكد وجود الاطوار في طلاء المرحلة الواحدة، حسب ما اشارت إليه نتائج تحليل الاشعة السينية الجدولين (3 و 4).

جدول 2: تفاصيل معدلات الوزن المكتسب وسمك الطلاء المحضر بمرحلتين وبمرحلة واحدة بدرجة الحرارة 1000°C .

| Temp. $^{\circ}\text{C}$ | Time of coating hr | Two stage | | | | Avg. weight gain mg/cm^2 |
|--------------------------|--------------------|---|----------------------|-------------|-------|-----------------------------------|
| | | Inner layer | Inter diffusion zone | Outer layer | total | |
| 1000°C | 2 | - | - | 30 | 30 | 50 |
| | 4 | - | - | 60 | 60 | 70.4 |
| | 8 | 64 | 4.4 | 12 | 80.4 | 80 |
| One stage | | | | | | |
| Temp. $^{\circ}\text{C}$ | Time of coating hr | Avg. thickness of coating μm | | | | Avg. weight gain mg/cm^2 |
| | | Inner layer | Inter diffusion zone | Outer layer | total | |
| 1000°C | 2 | 133 | 7 | 40 | 180 | 35 |
| | 4 | 235 | 15 | 50 | 300 | 48 |
| | 8 | 195 | 30 | 100 | 325 | 56 |

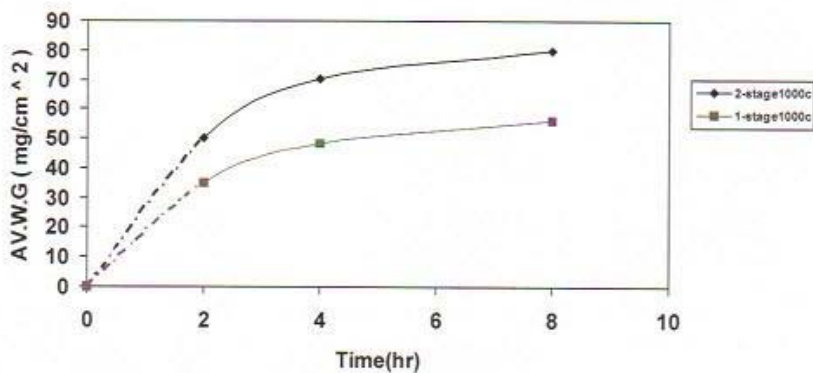
كذلك بين الجدول (2) والشكل (2) ان معدل وزن الالمونيوم المكتسب في طلاء المرحلة الواحدة هو اقل مما هو عليه في طلاء المرحلتين مع ان كليهما يخضعان لقانون القطع المكافىء اي ان عملية الطلاء تكون متحكمه بقوانين الانتشار التي تقلل معدلاتها مع الزمن . ويوضح من ذلك أيضا ان إضافة مسحوق النikel الى بودقة الطلاء ، يعمل على تقليل فعالية الالمونيوم في البودقة وينتج ذلك مع ملاحظة الباحث (Levin, et al., 1998) عند إضافة الحديد في بودقة الطلاء .

جدول 3: نتائج فحص حبود الأشعة السينية XRD للطلاء الناتج بمرحلة واحدة (نيكل - ألمونيوم) بدرجة الحرارة . 1000°C

| Peak No. | Value of 2θ (degree) | Relative Int. I_{max}/I_0 | Value of d^0/A $d=\lambda/2\sin \theta$ | Phase Type |
|----------|----------------------------------|-----------------------------|---|------------|
| 1 | 31.1 | 19.2 | 2.86 | ◎ |
| 2 | 33.6 | 9 | 2.65 | Φ |
| 3 | 41.6 | 15 | 2.15 | ○ |
| 4 | 43.5 | 100 | 2.07 | Φ □ |
| 5 | 63.2 | 13 | 1.468 | ◎ |
| 6 | 72.9 | 9.6 | 1.29 | ○ |
| 7 | 80.6 | 15 | 1.189 | + |

جدول 4: نتائج فحص حبود الأشعة السينية XRD للطلاء الناتج بمرحلة واحدة (نيكل + ألمونيوم) بدرجة الحرارة . 1000°C

| Peak No. | Value of 2θ (degree) | Relative Int. I_{max}/I_0 | Value of d^0/A $d=\lambda/2\sin \theta$ | Phase Type |
|----------|----------------------------------|-----------------------------|---|------------|
| 1 | 43.3 | 100 | 2.08 | ◎ ○ Φ |
| 2 | 49.7 | 21 | 1.83 | |
| 3 | 52.3 | 11 | 1.74 | ○ |
| 4 | 74.3 | 12 | 1.27 | Φ |
| 5 | 76.3 | 13 | 1.24 | Φ |
| 6 | 81.4 | 65 | 1.17 | ◎ ? |
| 7 | 85.2 | 19 | 1.13 | Φ |



شكل 2: الوزن المكتسب الناتج من عملية الطلاء المحضر بمرحلتين وبمرحلة واحدة
بدرجة 1000°C .

ثانياً- الأكسدة الدورية:

يبين الشكل (3) حركة التأكسد لكلا النوعين من الطلاءات اضافة الى نموذج مطلي بالالمنيوم فقط (الطلاء التقليدي) وآخر غير مطلي لاجل المقارنة. ويتبين جليا ان النموذج غير المطلي اصابه الانهيار الكامل بعد اقل من اربعة دورات حرارية (88) ساعة وان فقدان وزن النموذج بلغ حوالي 95 % من وزنه الاولي، بينما بلغ فقدان في الوزن للنموذج المطلي بالالمنيوم فقط حوالي 40 mg / cm² بعد 220 ساعة.

اما بالنسبة للنماذج المطلية بالنikel والالمنيوم ولكل النوعين فانهما لم يفقدا من وزنيهما بعد طيلة فترة الدورات الحرارية وهذا يؤكد ان اضافة النikel قد اسهم في تحسين خواص التصاق القشرة الاوكسيدية الواقة والمانحمة $\alpha - Al_2O_3$ لأن نتائج تحليل الاشعة السينية الموضحة بالجدولين (6,5) تؤكد وجودها بعد طيلة فترة التعرض، كما تشير ايضا الى وجود بعض الاكسيد الشائنة (Spinel) مثل $FeCr_2O_4$ و $NiCr_2O_4$. من المعروف ان الاكسيد الثنائي تتميز بمعدلات نمو عالية وان تكونها قد يعزى الى قلة الالمنيوم في طبقة الطلاء الخارجية حيث ان الطور السادس لطلاء المرحلة الواحدة بعد الاكسدة ما زال هو الطور الغني بالنikel Ni_3Al بينما نجد ان طلاء المرحلتين ما زالت تتمتع بوجود الطور الغني بالالمنيوم Ni_2Al الذي يعمل على توفير عنصر الالمنيوم لفترة اطول.

وعلى الرغم من ان هناك العديد من البحوث استخدمت فيها عناصر او اكسيداتها لتحسين التصاقية القشرة الاوكسيدية الا ان تأثير النikel ظل بعيدا عن اطار هذه الدراسات، حيث استخدم البلاتين والراديوم قبل المئة سبيكة اساسها نيكيل (Bachorczyk, et al., 2000) MAR-Moo2

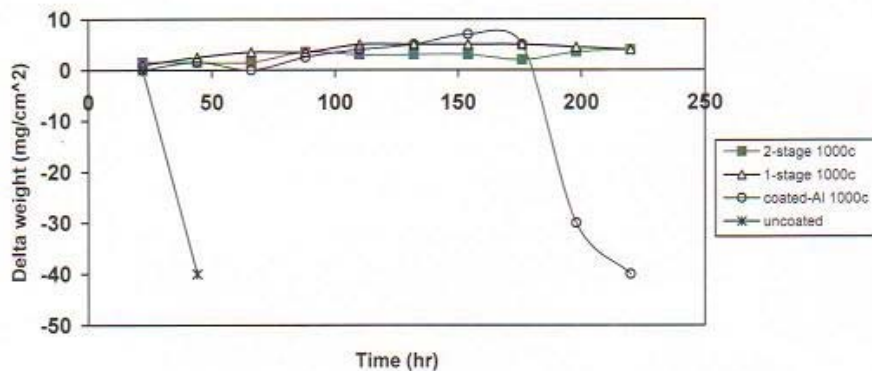
عند ترسيبها على السطح بطريقة الترذذ (Sputter deposition) (Habazaki et al., 2002) وكما هو الحال في استخدام عنصر البورون في السنوات الأخيرة (Maragoudakis et al., 2003) وكذلك استخدام Y_2O_3 المرسية كيمانيا قبل وبعد المنة سبائك الصلب الحاوية 30 % كروم (oungninou, 2003) ولم تقتصر دراسة تحسين الالتصاقية لقشرة الاوكسيدية للطلاءات بل اصبحت تضاف إلى سبائك نفسها ولنفس الغاية وخاصة للسبائك التي تحتوي على نسب عالية من الكبريت حيث يضاف عنصر Hf لتحسين الالتصاقية لقشرة Al_2O_3 (Haynes et al., 2000) واستخدام CeO_2 لعدد من سبائك الصلب 321,316,347,304 (Seal et al., 2000) وعلى سبيكة ثانية من الحديد - كروم (Rhys and Grabke, 1988) واضافة Y_2O_3 (Pint et al., 1999) وقد لا توجد اليه ثانية ومحددة حول دور هذه العناصر والمركبات على عملية تعزيز الالتصاقية لقشرة الاوكسيدية الا ان عددا من الاليات قد تكون هي الاساس في ذلك ومنها تعزيز الاكسدة الاختيارية للالومينا او تقليل نمو الاكسيد الاخرى الثانوية والمنفردة او منع تساقط القشرة الاوكسيدية عن طريق تشكيل ما يشبه الاذرع (Piggs) او تقليل الفجوات المتكونة في المنطقة البنية بين الاوكسيد والسبائك (Moon, 1989).

جدول 5: نتائج فحص حبيبات الأشعة السينية XRD للنموذج المؤكسد والمطلي بمرحلتين (نيكل - المنيوم) بدقة الحرارة $^0\text{C} 1000$.

| Peak No. | Value of 2θ (degree) | Relative Int. I_{max}/I_0 | Value of d^0/A $d=\lambda/2\sin\theta$ | Phase Type |
|----------|-------------------------|-----------------------------|---|------------|
| 1 | 35.5 | 100 | 2.522 | □□+ |
| 2 | 43 | 22.2 | 2.098 | + δ |
| 3 | 52 | 33.3 | 1.75 | □ |
| 4 | 57.3 | 17.7 | 1.60 | + δ |
| 5 | 62.8 | 31 | 1.47 | + δ |

جدول 6: نتائج فحص حبيبات الأشعة السينية XRD للنموذج المؤكسد والمطلي بمرحلة واحدة (نيكل+المنيوم) بدرجة الحرارة 1000°C .

| Peak No. | Value of 2θ (degree) | Relative Int. I_{max}/I_0 | Value of $d^0/\text{Å}$ $d=\lambda/2\sin\theta$ | Phase Type |
|----------|-------------------------|--------------------------------|--|------------------|
| 1 | 30.2 | 51.2 | 2.95 | + $\hat{\alpha}$ |
| 2 | 35.6 | 71.1 | 2.514 | + |
| 3 | 42.9 | 100 | 2.101 | $\hat{\alpha}$ |
| 4 | 51.8 | 48.7 | 1.76 | \square |
| 5 | 57.1 | 69.2 | 1.61 | + $\hat{\alpha}$ |
| 6 | 62.9 | 38.4 | 1.47 | + $\hat{\alpha}$ |
| 7 | 66.4 | 46 | 1.4 | \square |



شكل 3: حركة التأكسد للعينات المطلية بالالمنيوم فقط والمطلية بمرحلتين وبمرحلة واحدة والعينات الغير مطلية بدرجة 1000°C .

المصادر العربية

الزهيري، فراس فرحان سيد، 2001. دراسة تأثير الطلاء المعدني على مقاومة سبيكةnickel. رسالة ماجستير، مقدمة إلى الجامعة التكنولوجيا.

المصادر الأجنبية

- Bachorezyk, R.; Danielewski, M.; Datta P.K.; Robort, F. and Fisher, G., 2000, Computer simulation of heterogeneous Reactions Controlled by Diffusion in Modified Aluminide Coatings on a Nickel-Based super alloy,Solid state Phenomena,Vol. 72, pp. 53-58.
- Datta S.; Filipek, R. and Danielewski, M., 2002. Interdiffusion issues in Pt – Modified NiAl Coatings, Defect and Diffusion Forum, Vol 5. 203 –205, pp. 47 – 60.
- Goward, G.W. and Boone, D.H, 1971. Mechanism of formation of diffusion aluminide Coatings on nickel-base super alloys oxidation of Metals,Vol. 3,No. 5,pp.475– 495.
- Habazaki,H.; Mitsui,H.; Ito,K.; Asami,K.; Hashimoto, K., and Mrowec, S., 2002. Roles of aluminium and Chromium in sulfidation and Oxidation of sputter – deposited Al and Cr – refractory metal alloys, Corrosion Science, Vol. 44, pp. 285 – 301.
- Houngninou, C.; Chevalier, S. and Larpin, J. P., Accepted in J. of Material Science Eng.
- Haynes, J.A.; More, K.I.; pint, B.A.; Wright, I.G.; Cooley, K., and zhang, Y., 2000. Effects og platinum additions on the adherence of alumina Scale to CVD aluminide bond Coatings, Contract DE-AC05- 96OR 22464 with Lockheed Martin Energy Research Corporation.
- Ky.kim, J.H. and Jun and Lee, J.K., 1993. High temperature corrosion study on Yttrium modified aluminide coating on IN 713 C. Journal de Physique IV.3 (c9 part2):251-529.

- Levin, L.; Ginzburgs, A.; klinger, L.; Werber, T.; Katsman, A. and Schaaf, P., 1998. Controlled formation of surface layers by pack aluminization. surface and coating technology, No. 106, pp 209-213.
- Maragoudakis, N.E.; Tsipa, S.D.; Stergiouds, G.; Omar, H. and Tsipas, D.N., 2003. Boro -Aluminide Coatings for protection aginst high Temperature Steam oxidation, J. of Corrosion Science and Engineering, Vol. 6, paper Ho25. pp. 1-7.
- Misaelides,P.; Noli, F.; Riviere, J.P. and Delafond, J., 1997. Surface characterisation and Corrosion behaviour of Sic- Coated AISI 321 stainless steel, No. 129, pp. 221-227.
- Mohammad, M. A., 1983. Ph.D Thesis, Loughborogh university of Technology, U.K.
- Menzies,I.A. and Mortimer, 1966. the oxidation of chromium diffusion Coatings on iron: chromium volatility and experimental technique, Corrosion Science, Vol. 6, pp. 517-539.
- Moon, D.P., 1989. Role of reactive elements in alloy protection Materials science and echnology, vol.5, pp. 754-764.
- Pint, B.A.; Tortorelli, P.F., 1999. Cyclic oxidation of high temperature Materials, Schütze and Quadakkers eds., The institute of materials, London, 111 p.
- Rhys, Jones, T.N. and Grabke, H.J.,1988. Use of cerium and cerium Oxide additions to improve high temperature oxidation of Fe-Cr alloys, Materials science and technology, Vol. 4.
- Seal, S.; Roy, S.K.; Bose, S.K. and Kuiry, S.C., 2000. Ceria-Based high-temperature coatings for oxidation prevention , J. of oxidation of metals, Vol. 52, No. 1, pp.1-7.
- Shahrour, K.M.N., 1994. Some aspects of chromium and silicon- aluminide coatings on 321 stainless steel alloy, M.S.Cthesis, University of Mosul, Iraq .
- Vanmanen,P.A.; Leibbrandt, G.W.R. and Dewit, J.H.W, 1993. the oxidation mechanism of pt20 Ni30 Al50, Journal. De physique IV.3, (c9. Part 1), pp. 123-131.